

**3. Результаты расчетов.** Предложенный алгоритм использован в расчетах сегментного радиального подшипника паровой турбины мощностью 500 МВт. Диаметр вала 50 см, ширина сегментов 50 см, частота вращения  $314 \text{ с}^{-1}$ . Отыскивалось положение точек опирания сегментов при нормальных режимах смазки. Установлено, что в случае двух несущих сегментов, расположенных в нижней половине подшипника и нагруженных силой 611 600 Н, минимум потерь имеет место при положениях точек опирания, характеризующихся величинами  $a_1=0,088$ ,  $a_2=0,096$ , ( $a_k=(L-2a_k)/2L$ ,  $L$  — длина сегмента). При этом минимальная толщина пленки будет  $h_1=0,0057 \text{ см}$ ,  $h_2=0,0063 \text{ см}$ . В случае четырех несущих сегментов при той же нагрузке значения параметров, характеризующих положение точки опирания сегментов, будут:  $a_1=0,081$ ,  $a_2=0,084$ ,  $a_3=0,08$ ,  $a_4=0,081$ , при этом значения минимальных толщин пленок находятся в пределах 0,0043—0,0057 см.

Ограниченные режимы смазки этого же подшипника рассматривались как в случае зафиксированного положения точки опирания сегмента, так и при отыскании положения этой точки, доставляющего минимум потерь трения. Результаты расчетов представлены в табл. 1, где указаны координаты центра вала  $\chi_0$ ,  $\beta_0$ , отношение толщин пленок на входе и на выходе  $\varepsilon$ , ширина несущей поверхности  $b_i$  в различных сечениях при нагрузке 93 000 Н и различных безразмерных значениях расходов  $Q/Q_N$  ( $Q_N$  — расход при нормальном режиме смазки). При этом положение точки опирания характеризовалось величиной  $a=0$ . В табл. 2 показаны результаты расчета сегмента при нагрузке 2 366 000 Н. Положение точки опирания, характеризующееся величиной  $a$ , удовлетворяло условию минимума потерь. Видим, что при уменьшении расхода в обоих случаях монотонно падают потери трения (сила трения  $F$ ). Оптимальное положение точки опирания сегмента сохраняется при этом практически неизменным (табл. 2). Это означает, что минимум потерь трения будет соблюдаться при правильно выбранном положении точки опоры и ограничении расходов смазки. Минимальное значение толщины пленки при уменьшении расходов смазки падает, хотя остается достаточно большим, чтобы обеспечить надежную работу узла.

#### ЛИТЕРАТУРА

1. Токарь И. Я., Городищева Г. Р. Решение задачи об ограниченной смазке.— *Машиноведение*, 1982, № 4, с. 86—91.
2. Михлин С. Г. Вариационные методы в математической физике. М.: Наука, 1970. 512 с.
3. Сеерлинд Л. Дж. Применение метода конечных элементов. М.: Мир, 1979. 392 с.
4. Эглайс В. О. Учет ограничений при параметрической оптимизации сложных систем алгоритмом интуитивного поиска.— В кн.: Вопросы динамики и прочности. Вып. 36. Рига: Зинатне, 1980, с. 34—38.
5. Эглайс В. О. Алгоритм интуитивного поиска для оптимизации сложных систем.— В кн.: Вопросы динамики и прочности. Вып. 36. Рига: Зинатне, 1980, с. 28—33.

Харьков

Поступила в редакцию  
25.IV.1983

УДК 532.526

### ЛАМИНАРНЫЙ ПОГРАНИЧНЫЙ СЛОЙ НА ПОДВИЖНОЙ ПОВЕРХНОСТИ ОВАЛА РЕНКИНА

ЗУБАРЕВ В. М.

Проведено численное исследование ламинарного пограничного слоя, возникающего на подвижной поверхности цилиндрического тела (овала Ренкина с относительным удлинением 4) при движении его с постоянной скоростью в несжимаемой жидкости. Найдены распределения напряжения трения на поверхности цилиндра для разных скоростей движения стенки. Численным интегрированием определены величины работ, необходимых для преодоления сопротивлений трения, давления, а также рассчитана работа, затрачиваемая на движение подвижной поверхности тела с постоянной скоростью. При наличии области отрыва для вычисления сил сопротивления используется предположение о том, что в отрывной зоне давление и напряжение трения на стенке постоянны и равны соответствующим значениям в особой точке решения уравнений пограничного слоя.

В работах [1, 2] в приближении пограничного слоя получены зависимости мощностей (элементарных работ в единицу времени), требуемых для преодоления профильного сопротивления тела при движении его с постоянной скоростью в несжимаемой жидкости, от скорости перемещения подвижной поверхности. Численное решение задачи для плоской пластины получено в [1], для круглого цилиндра аналогичная задача исследовалась в [2].

Рассматривается двумерное стационарное течение вязкой несжимаемой жидкости в пограничном слое на теле, поверхность которого от передней критической точки до задней критической точки внешнего идеального течения движется с постоянной скоростью вниз по потоку.

Тело (фиг. 1) представляет собой цилиндр, контур которого образован нулевой разделяющей линией тока в классической задаче идеального обтекания источника  $S(-a_1, 0)$  и стока  $D(a_1, 0)$  равной мощности равномерным потоком  $U_\infty$  [3]

$$\Psi = U_\infty y_1 - M \operatorname{arctg} \left( \frac{2a_1 y_1}{x_1^2 + y_1^2 - a_1^2} \right) = 0, \quad y_1 \neq 0, \quad M = \frac{Q}{2\pi}$$

Здесь  $\Psi$  – функция тока;  $a_1$  – расстояние от источника (стока) до оси  $y_1$  ( $x_1 = 0$ );  $Q$  – мощность источника (стока).

Для исследования задачи используется система уравнений пограничного слоя в безразмерной форме с граничными условиями

$$\begin{aligned} v_* &= \varphi_0 - \varphi_1 \int_0^\eta F d\eta - \varphi_2 \int_0^\eta \frac{\partial F}{\partial s} d\eta \\ \varphi_2 F \frac{\partial F}{\partial s} + v_* \frac{\partial F}{\partial \eta} &= \frac{\partial^2 F}{\partial \eta^2} + \varphi_3 (1 - F^2) \\ \eta = 0, F &= u_w / u_e, v_* = 0 \\ \eta \rightarrow \infty, F &\rightarrow 1; s = s_0, F = F_0(\eta) \\ \eta &= \frac{y}{\delta}, \quad y = Y \sqrt{\operatorname{Re}}, \quad \delta = \frac{\sqrt{2\xi}}{u_e}, \quad \xi = \int_0^s u_e ds \\ F &= \frac{u}{u_e}, \quad v_* = v\delta + \varphi_2 F \frac{\partial \eta}{\partial s}, \quad v = V \sqrt{\operatorname{Re}}, \quad \operatorname{Re} = \frac{U_\infty L}{\nu} \\ \varphi_0 &= v_w \delta, \quad \varphi_1 = \delta \frac{d(\delta u_e)}{ds}, \quad \varphi_2 = u_e \delta^2, \quad \varphi_3 = \delta^2 \frac{du_e}{ds} \end{aligned}$$

Здесь  $s$  и  $Y$  – координаты,  $u$  и  $V$  – соответственно составляющие вектора скорости вдоль и по нормали к поверхности тела, координата  $s$  отсчитывается от передней критической точки тела;  $\nu$  – кинематический коэффициент вязкости;  $\operatorname{Re}$  – число Рейнольдса; индекс  $e$  относится к величинам на внешней границе пограничного слоя,  $w$  – на стенке. Все размеры отнесены к характерной длине обтекаемого тела  $L$ , компоненты вектора скорости – к скорости невозмущенного потока  $U_\infty$ . Профиль скорости  $F_0(\eta)$  задается из решения соответствующей локально-автомодельной задачи.

Система уравнений пограничного слоя с граничными условиями решалась численно конечно-разностным методом с использованием схемы работы [4]. Интегрирование прекращалось с появлением особой точки решения уравнений пограничного слоя, указывающей на появление области возвратного течения, в которой профиль скорости  $u(\eta)$  удовлетворяет критерию Мура – Ротта – Сирса [5]

$$\frac{\partial u}{\partial \eta} = 0, \quad u = 0$$

При расчетах использовалась неравномерная в направлении нормали сетка, шаг интегрирования  $h_j$  изменялся от поверхности до внешней границы по закону геометрической прогрессии

$$h_j = K h_{j-1} \quad (K > 1, j = 1, \dots, J)$$

Ниже представлены некоторые результаты исследования, полученные для следующих значений параметров (числа Рейнольдса соответствуют реализованному ламинарному режиму течения):  $M/(U_\infty L) = 0,0479$ ;  $a_1/L = 0,454$ ;  $L_m/L = 0,25$  ( $L_m$  – размер мидела тела);  $0 \leq u_w \leq 2$ ;  $2,49 \cdot 10^6 \leq \operatorname{Re} \leq 4,98 \cdot 10^6$  (в частности, при  $U_\infty = 5$  м/с;  $0,5 \text{ м} \leq L \leq 1 \text{ м}$ ;  $\nu = 1,004 \cdot 10^{-6}$  м<sup>2</sup>/с – кинематический коэффициент вязкости воды при 20 С [3]).

Потенциальное распределение скорости  $u_e$  около овала с отношением осей  $L/L_m = 4$  от  $s$  показано на фиг. 1.

Положение особой точки  $A$  решения уравнений пограничного слоя показано на фиг. 1 для случая неподвижной стенки, когда точка  $A$  располагается на поверхности тела.

Безразмерное напряжение трения на стенке вычисляется по формуле

$$\tau_w^* = 2\tau_w \sqrt{\operatorname{Re}} / (\rho u_e^2 U_\infty^2) = 2(\partial F / \partial \eta)_w / \delta u_e$$

где  $\rho$  – плотность жидкости. Значения  $\tau_w^*$  при различных скоростях стенки  $u_w$  в зависимости от координаты  $s$  приведены на фиг. 2. Кривые 1–3 соответствуют зна-

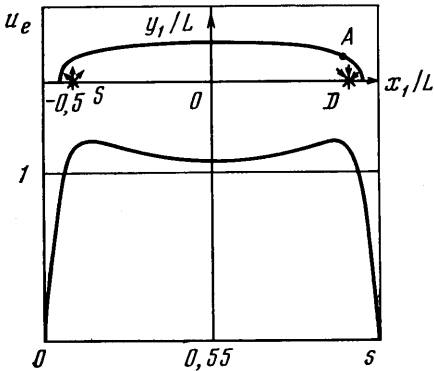
чениям параметра  $u_w=0; 1; 2$ . Из фиг. 2 видно, что вне области, непосредственно прилегающей к особой точке решения, с увеличением скорости стенки напряжение трения в точке на поверхности тела уменьшается. Отметим также наличие двух локальных максимумов  $\tau_w^*$  для всех значений  $0 < u_w \leq 2$ .

На фиг. 2 (кривая 4) представлены значения расчетной характеристики пограничного слоя форм-параметра  $H = \delta^*/\theta$  от  $s$  при  $u_w=0$ . Здесь толщина вытеснения  $\delta^*$  и толщина потери импульса  $\theta$  определяются формулами

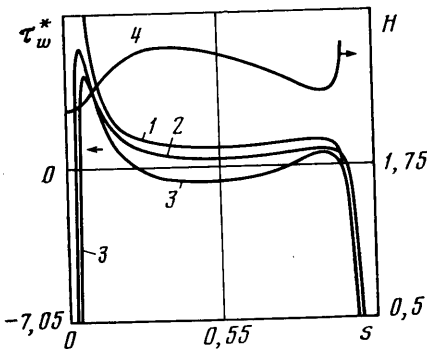
$$\frac{\delta^* \sqrt{\text{Re}}}{L} = \int_0^{\infty} (1-F) dY, \quad \frac{\theta \sqrt{\text{Re}}}{L} = \int_0^{\infty} F(1-F) dY$$

Кривая 4 показывает, что возрастание параметра  $s$  от 0 до 0,364 сопровождается увеличением  $H$  от 2,21 до 2,71. При дальнейшем росте значения координаты вдоль тела наблюдается локальный минимум форм-параметра  $H$ , за которым следует монотонный подъем вблизи особой точки решения.

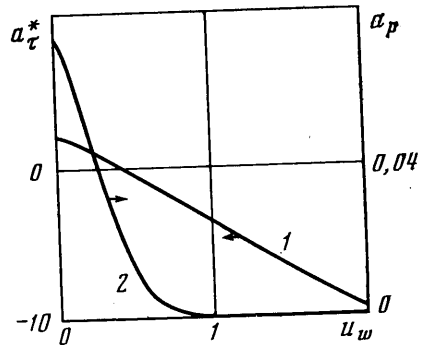
Профильное сопротивление тела, складывающееся из сопротивления трения и сопротивления давления, получается интегрированием поверхностных сил по всему контуру тела. При вычислении интегралов сил, действующих на единицу длины образующей и половину всей поверхности тела, принималось предположение о постоянстве давления и напряжения трения в области отрыва, причем значения давления и напряжения трения брались равными значениям в особой точке решения.



Фиг. 1



Фиг. 2



Фиг. 3

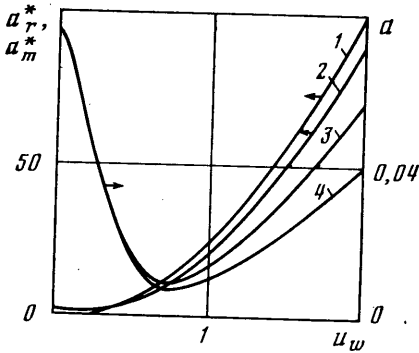
Внешняя энергия, подводимая в единицу времени для движения тела со скоростью  $U_\infty$  в неподвижной жидкости, передается каким-либо движителем на преодоление сопротивлений трения, давления и частично расходуется на перемещение жидкости подвижной поверхностью тела. Записанное в безразмерном виде выражение для внешней энергии  $a$  имеет вид [2]

$$a = a_\tau + a_p + a_r, \quad a_i = A_i/A_\infty, \quad i = (\tau, p, r), \quad A_\infty = 1/2 \rho U_\infty^3 L$$

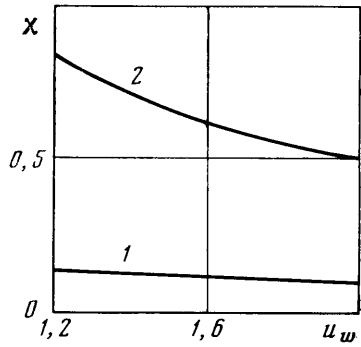
Здесь  $A_\tau, A_p$  — работы, затраченные на преодоление сопротивлений трения и давления;  $A_r$  — работа, совершаемая над жидкостью подвижной поверхностью тела;  $a_\tau, a_p$  — коэффициенты соответственно сил трения и давления, действующих на половину поверхности тела;  $a_r$  — безразмерная величина работы  $A_r$ .

Графики зависимостей коэффициентов сил трения  $a_\tau^* = a_\tau \sqrt{\text{Re}}$  (кривая 1) и давления  $a_p$  (кривая 2) от  $u_w$  представлены на фиг. 3. Из анализа поведения кривой 1 следует, что с увеличением скорости стенки  $u_w$  от 0 до 2 величина силы трения (приложенной со стороны жидкости) убывает и для  $u_w > 0,404$  становится отрицательной, т. е. тело испытывает тягу, а не сопротивление трения. В этом случае подвижная поверхность увлекается жидкостью.

Анализ зависимости коэффициента силы давления  $a_p(u_w)$  позволяет заключить, что при увеличении значения параметра  $u_w$  от 0 до  $u_w^*$  ( $u_w^* \approx 1,1$ ) координата  $s$  особой точки  $A$  решения уравнений пограничного слоя смещается в заднюю критическую точку, и для скоростей стенки  $u_w > u_w^*$  имеет место безотрывное обтекание.



Фиг. 4



Фиг. 5

На фиг. 4 приведены зависимости  $a_r^* = a_r \sqrt{Re}$  (кривая 1) и  $a_m^* = a_m \sqrt{Re} = (a_r + a_p) \sqrt{Re}$  (кривая 2) от  $u_w$ . Работа  $a_r^*$ , совершаемая над жидкостью подвижной поверхностью тела, отрицательна ( $a_r^* \leq 0$ ) для  $0 \leq u_w \leq 0,144$ . Локальный минимум  $(a_r^*)_{\min} = -0,103$  достигается при  $u_w = 0,072$ . У величины  $a_m^*$  локальный минимум  $(a_m^*)_{\min} = 0,152$  имеется при  $u_w = 0,175$  (для плоской пластины с подвижной поверхностью минимум подводимой извне мощности  $a_m^*$  равен нулю при  $u_w = 1$  [1]).

Графики зависимости  $a$  от  $u_w$  на фиг. 4 (кривые 3, 4) показывают существенное падение сопротивления у тела с движущейся поверхностью в  $\sim 8-11$  раз, когда скорость стенки от нулевого значения мгновенно достигает величины  $u_w \approx 0,7-0,8$ . Кривые 3, 4 на фиг. 4 соответствуют телу с характерными линейными размерами  $L = 0,5; 1$  м ( $Re = 2,49 \cdot 10^6, 4,98 \cdot 10^6$ ). Зависимость внешней энергии  $a(u_w)$ , которую необходимо расходовать на преодоление профильного сопротивления тела при фиксированном  $Re$ , позволяет выделить область  $0 \leq u_w \leq 0,5$ , где сопротивление трения невелико и основной вклад в общее профильное сопротивление дает сопротивление давления. Для скоростей стенки  $u_w > 0,5$  роль сопротивления трения возрастает и профильное сопротивление целиком определяется сопротивлением трения. С возрастанием числа  $Re$  при фиксированной скорости стенки  $u_w > 0,4$  величина внешней энергии  $a$  повсюду имеет меньшие значения, при этом локальный минимум энергии  $a$  достигается для большего значения  $u_w$ .

На фиг. 5 (кривая 1) приводится зависимость пропульсивного коэффициента полезного действия движителя

$$\chi = \left| \frac{a_r + a_p}{a_r} \right| = \left| \frac{a_r^* + a_p \sqrt{Re}}{a_r^*} \right|$$

от  $u_w$  (когда тело обладает тягой,  $a_r < 0$ ). Здесь же для сравнения показана зависимость кпд  $\chi(u_w)$  для плоской пластины [1] (кривая 2). Видно, что величина  $\chi$  для овала Ренкина с относительным удлинением  $L/L_m = 4$  ( $1,2 \leq u_w \leq 2$ ) составляет  $\sim 16-19\%$  кпд плоской пластины, подвижная поверхность которой является предельным «идеальным» движителем такого рода.

Автор благодарит Г. Г. Черного за постоянное внимание к работе и обсуждение результатов.

#### ЛИТЕРАТУРА

1. Черный Г. Г. Пограничный слой на пластине с подвижной поверхностью. — Докл. АН СССР, 1973, т. 213, № 4, с. 802–803.
2. Зубарев В. М. Пограничный слой на подвижной поверхности цилиндра. — Изв. АН СССР. МЖГ, 1983, № 6, с. 38–42.
3. Кочин Н. Е., Кибель И. А., Розе Н. В. Теоретическая гидромеханика. Ч. 1, 2. М.: Физматгиз, 1963.
4. Громов В. Г., Ларин О. Б. Численный анализ воспламенения водорода в сверхзвуковом пограничном слое. — В кн.: Неравновесные течения газа и оптимальные формы тел в сверхзвуковом потоке. М.: Изд-во МГУ, 1978, с. 74–94.
5. Уильямс Дж. III. Отрыв пограничного слоя несжимаемой жидкости. — В кн.: Вихревые движения жидкости. М.: Мир, 1979, с. 58–100. (Механика. Новое в зарубежной науке. Вып. 21.)

Москва

Поступила в редакцию  
13.VI.1983